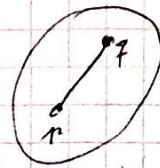


Konvexe Hülle

Definition (Erinnerung):

$K \subseteq \mathbb{R}^d$ "konvex" \Leftrightarrow

$\forall p, q \in K: \overline{pq} \subseteq K$



Def.:

Sei $S \subseteq \mathbb{R}^d$.

Die konvexe Hülle $CH(S)$ ist

$$CH(S) := \bigcap_{\substack{K \supseteq S \\ K \text{ konvex}}} K$$

(Bem.: diese Def. ist die mathem. Schreibweise für diese Umhüllungs-def.)

d.h., $CH(S)$ ist die kleinste konvexe Obermenge von S .

Aus Def \Rightarrow Schnitt zweier CH 's ist wieder konvex.
Seien K_1, K_2 konvex $\Rightarrow K_1 \cap K_2$ ist konvex.

Im Folgenden betrachten wir nur endliche S ,
also Mengen von ^(diskreten) Punkten.

Satz 1

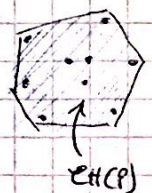
[Preparata/Shamos 9.31;
Rolf Klein, Kap. 4.1]

Die konvexe Hülle einer endlichen Menge B von Punkten im \mathbb{R}^d ist ein (konvexes) Polyeder, dessen Ecken aus B sind.

Achtung: inkonsistente

Verwendung der Begriffe Polyeder / Polytop

in den verschiedenen Bereichen!



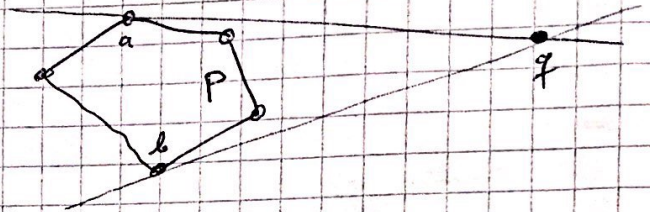
Beweis kommt gleich

Ü: Show that line can intersect K at most in one contiguous interval
Bew. durch Widerspruch

Definition:

Gegeben ein Polygon P und ein Punkt q außerhalb P .
Eine "Tangente an P durch q " ist eine Gerade,
die P in 1 Pkt berührt und durch q geht.

(also eine supporting line)
"line through q supporting P "



Beobachtung:

Für konvexem P gibt es
genau 2 Tangenten durch q .

Also zur effizienten Berechnung kommt später.

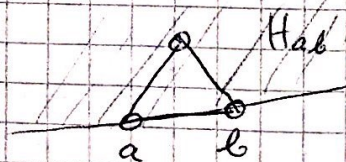
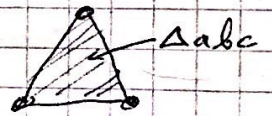
Beweis des o.g. Satzes: Induktion über $n = |\mathcal{S}|$

Ind. anfang:

$\mathcal{S} = \{a, b, c\} \rightarrow \text{Beh.: } \mathcal{CH}(\mathcal{S}) = \Delta abc$

Bew.: $\Delta abc = H_{ab} \cap H_{bc} \cap H_{ac}$

mit $H_{ab} =$ von a, b induzierter Halbraum,
der Pkt c enthält.



Δabc ist konvex, da Schnitt zweier konvexer Mengen
wieder konvex.

Δabc enthält P ;

ist kleinste solche Menge: jede andere konvexe (!) Menge könnte
man durch "abschneiden" mittels einer der Halbebenen
verkleinern.

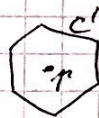
Ind. schritt: $|P| > 3$

wähle irgend ein $p \in P$, setze $P' := P \setminus \{p\}$;
setze $C' = \text{EH}(P')$; für diese gilt Satz, d.h.
 $\{\text{Ecken von } C'\} \in P' \subseteq P$.

Idee: konstruiere aus C' und p die $\text{EH}(P)$

Fall 1: $p \in C'$

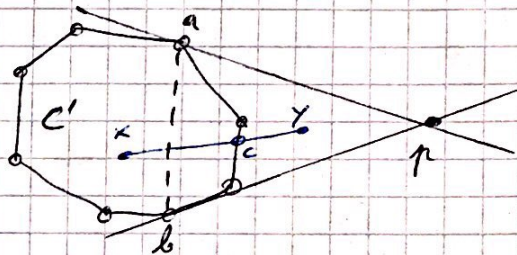
\Rightarrow nichts zu tun, Satz gilt



Fall 2: $p \notin C'$

bestimme die beiden

Tangenten an C' durch p
Stützgeraden
 \rightarrow Pkte a, b



Behauptung: $\text{EH}(P) = C' \cup \Delta abp$.

Klar ist: \forall konvexe Mengen $K \supseteq P$: $C' \subseteq K \wedge \Delta abp \subseteq K$
 $\Rightarrow C' \cup \Delta abp \subseteq \text{EH}(P)$

Noch zu zeigen: $C' \cup \Delta abp$ ist konvex

Es genügt zu zeigen, daß für $x \in C'$ und $y \in \Delta abp$
die Strecke \overline{xy} in der Vereinigung liegt, weil
 $\forall x \in C', y \in \Delta abp: \overline{xy} \subseteq C' \cup \Delta abp$
 C' und Δabp für sich schon konvex sind (d.h.,
falls x, y beide in C' oder Δabp , ist nichts zu zeigen).

Sei $x \in C'$, $y \in \Delta abp \setminus C'$,

setze $c :=$ Schnittpunkt von \overline{xy} und Rand von C'

c muß zwischen den beiden Tangenten liegen (sonst
wären es nicht die Tangenten

$\Rightarrow \overline{cy} \subseteq \Delta abp$

$\overline{xc} \subseteq C'$ sowieso klar $\Rightarrow \overline{xy} \subseteq C' \cup \Delta abp$.

(Man könnte den Satz auch ganz anders beweisen, z.B. durch
Induktion über Schritte von Halbebenen; aber dieser Bew. hier führt
unmittelbar auf einen netten Algo!)

Berechnung der EH in 2D

Wir wissen: die $EH(P)$ besteht aus einigen Pkten von P und den Strecken dazwischen.

Naiver Algo:

$C := \emptyset$ // Menge der Kannten von $EH(P)$

forall $(p, q) \in P \times P, p \neq q$:

forall $r \in P \setminus \{p, q\}$:

if r liegt links von \overline{pq} :

verwerfe (p, q)

füge (p, q) zu C hinzu

sortiere C in CCW



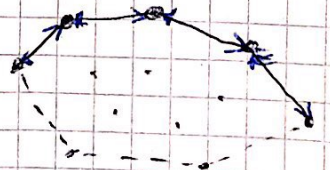
Laufzeit: $O(n^2)$

Idee: wende Algorithmentechnik "inkrementelle Berechnung" an

Hier: Punkte nach und nach zur bis dahin bestehenden EH hinzufügen (die natürlich nur für die bis dahin "gesehenen" Pkte gültig sein kann)

Definition

Die "obere Hülle" $\hat{EH}(P) :=$ alle diejenigen Pkte aus $EH(P)$, die von $\min.$ nach $\max.$ x -Koord. laufen, wenn man $EH(P)$ in CW -Ordnung ausgibt.
Analog "untere Hülle".

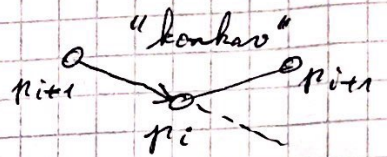
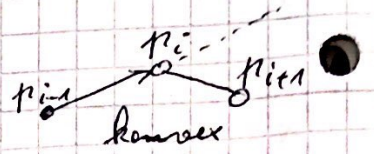


Def.:

Ein Vertex p_i eines Polygons P heißt "konkav" $\Leftrightarrow p_{i+1}$ liegt

links von $\overline{p_{i-1} p_i}$. $\Leftrightarrow \kappa(\Delta p_{i-1} p_i p_{i+1}) > 0$

Achtung: diese Def hängt davon ab, in welcher Reihenfolge der kommende Algo vorgeht - würde er z.B. die obere Hülle von rechts nach links berechnen, müsste man es genau umgekehrt definieren!



Algo: Graham's Scan

Input: $P =$ lkte in der Ebene

sortiere P bzgl. x -Koord $\rightarrow p_1, \dots, p_n$

init $\hat{C} := \{p_1, p_2\}$ // working set für $\hat{C}H$

for $i = 3 \dots n$:

$\hat{C} += \{p_i\}$ // p_i zu \hat{C} hinzufügen

while $|\hat{C}| > 2 \wedge$ // repariere \hat{C} ggf.

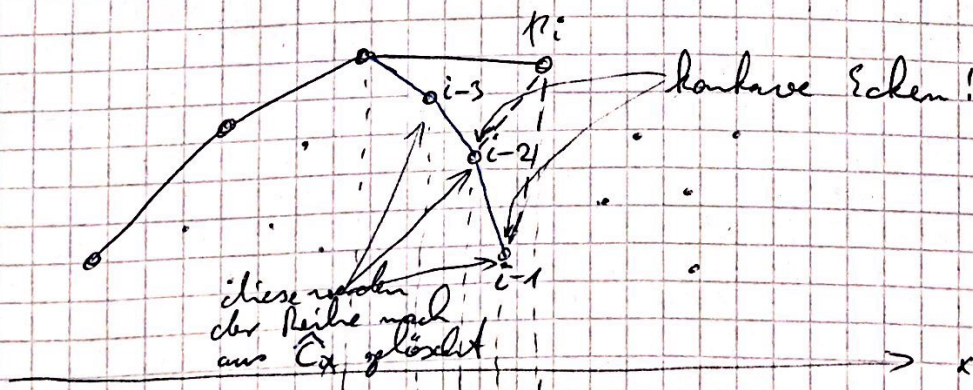
$(p_{i-2}, p_{i-1}, p_i) \in \hat{C}$ bilden konkave Ecke:

lösche p_{i-1} aus \hat{C}

berechne analog die untere Hülle \bar{C}

(Dieses Tripel soll immer die letzten 3 lkte aus dem aktuellen \hat{C} sein; ist formal nicht korrekt, so wie es geschr. ist, aber hilft doch klar)

Bsp.:



Laufzeit: $O(n \log n)$

Bew.: jeder Pkt kann nur 1x aus \hat{C}_x gelöscht werden \Rightarrow

Jeweile while-Schleife kann max. n x insgesamt

durchlaufen werden \Rightarrow nach dem Sortieren braucht aber

algo $O(n)$ Zeit; das ganze nochmal für $C_x \Rightarrow$ Beh.

Fazit: Graham's scan hat optimale worst-case Laufzeit.

Erste einfache Anwendung:

Bsp. drei Gase G_1, G_2, G_3

jedes besteht zu x_i Prozent aus Stickstoff, zu y_i Prozent aus Sauerstoff.

Frage: kann man G_1, G_2, G_3 so mischen, daß ein Gas $G=(x,y)$ entsteht? [oder also genau x Prozent Stickstoff und y Prozent Sauerstoff enthält?]

Lsg.: "Mischen" bedeutet

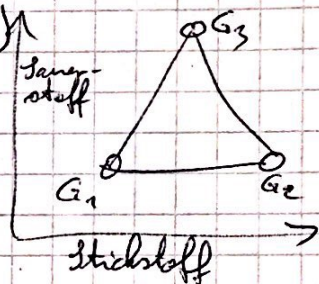
$$G = \sum \lambda_i G_i, \quad \lambda_i \geq 0, \quad \sum \lambda_i = 1$$

Da uns nur Mischungsverhältnisse interessieren $\rightarrow \sum \lambda_i = 1$

Antwort: "Ja" $\Leftrightarrow G \in \text{CH}(G_1, G_2, G_3)$

$$\Leftrightarrow \exists \lambda_i, \lambda_i \geq 0 \wedge \sum \lambda_i = 1$$

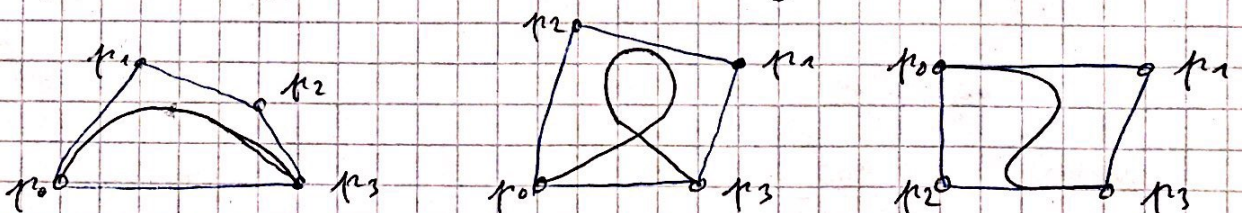
Analog mit Farben (in 3D)



Andere einfache Anwendung:

Die "convex hull property" von Bézier-Kurven:
eine Bézier-Kurve, aufgespannt durch Kontrollpunkte $P = \{p_0, \dots, p_n\}$, liegt immer vollständig in $\text{CH}(P)$.

Bsp.:



Kann man z.B. ausnutzen, um Schnittberechnungen zwischen Bézier-Kurven zu beschleunigen.

$$\text{Def.: } B(t) = \sum_{i=0}^n \binom{n}{i} (1-t)^{n-i} t^i p_i, \quad 0 \leq t \leq 1$$

Problemstellung präzisiert:

Gegeben n Punkte in der Ebene;

bestimme das konvexe Polygon $CH(P)$ durch

Ausgabe der Eckpunkte entgegen dem Uhrzeigersinn.

Jetzt erst den 2D-Algorithmus, dann eigenspezifische
dann Beweis mit Reduktion auf Sortieren

Def.:

Ober: 1. CH in 2D, 2. CH in 2D, 3. Untere Schranke (Reduktion auf Sortieren), 4. Zimmernumern, 5. Konvexe Kombination, 6. Geom. Prädikate, 7. Geom. robustmess

Gegeben k Punkte $p_1, \dots, p_k \in \mathbb{R}^d$. ($k \leq d+1$, und $k > d+1$ OK)

Eine "konvexe Kombination" dieser Punkte ist

$$p = \sum_{i=1}^k \lambda_i p_i, \quad \sum \lambda_i = 1, \quad \forall \lambda_i \geq 0.$$

Satz (o. Bew.):

geg. $P = \{p_1, \dots, p_k\} \in \mathbb{R}^d$.

$$CH(P) = \left\{ \underbrace{\sum_{i=1}^k \lambda_i p_i}_{= \text{konvexe Kombination}} \mid \sum \lambda_i = 1, \lambda_i \geq 0 \right\}.$$

Die λ_i heißen "baryzentrische Koord."

Proof: via induction

start with p_1, p_2 : $\forall \lambda \in [0, 1]: \lambda p_1 + (1-\lambda) p_2 \in \overbrace{p_1 p_2}^{= CH(p_1, p_2)}$
 $\Leftrightarrow \lambda_1 p_1 + \lambda_2 p_2 \in \overline{p_1 p_2}$, with $\lambda_1 + \lambda_2 = 1$, $\lambda_1, \lambda_2 \geq 0$

Noch ein paar Eigenschaften der konvexen Hülle

Satz:

Die Konstruktion der konvexen Hülle von n Punkten in der Ebene erfordert $\Omega(n \log n)$ Zeit.

Bew.:

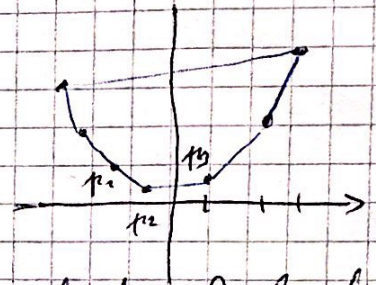
Wir zeigen: Sortieren kann man in linearer Zeit auf die konvexe Hülle reduzieren. $O(n)$

Geg.: $x_1, \dots, x_n \in \mathbb{R}$

Konstruiere $P = \{ (x_i, y_i) \mid y_i = x_i^2 \}$

Klar ist: alle p_i erscheinen in $CH(P)$

Ein Algo für $CH(P)$ liefert die x_i in sortierter Reihenfolge (modulo eines Index-Shift)



Satz: ("Gummiband-Satz")

Der Rand der konvexen Hülle einer Menge Punkte P in der Ebene ist der kürzeste geschlossene, einfache Weg um P herum.

(Erinnerung: Gummiband)

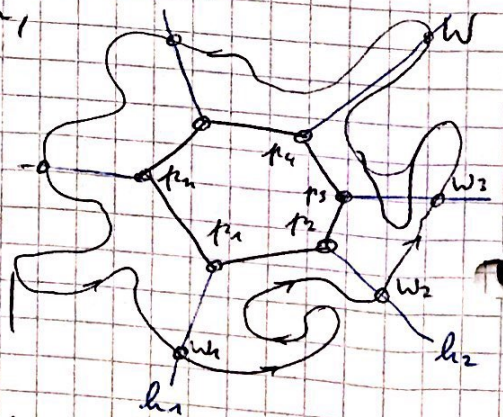
Bew.:

Sei W ein Weg um P herum. (und einfach)

Zu zeigen: W ist mindestens so lang wie $2 \cdot CH(P)$.

Spicke Strahlen h_i von p_i nach außen, die Winkelhalbierende sind; Laufe auf W herum und beschrifte mit $w_i :=$ erster Schnittpunkt von W mit h_i

Nun ist $\|p_{i+1} - p_i\| \leq \|w_{i+1} - w_i\| \leq \|w_{i+1}\|$
Wegstück auf W von w_i bis w_{i+1}



Not Relevant for Exam, Just FYI

[Preparat / Skizzen 3.105
Gommes et al., 33.3, 9.955]

Algo "Jarvis' March":

Beobachtung: wenn \overline{pq} Kante der $\mathcal{EH}(P)$ ist, dann
muss es einen Pkt $r \in P$ geben, so dass \overline{qr} die
nächste Kante ist. falls $\overline{pq} \in \mathcal{EH}(P) \Rightarrow \exists r^p: \overline{qr} \in \mathcal{EH}(P)$

Bezeichnung: $\angle(\overline{pq}, x) =$ Winkel zwischen \overline{pq}
und der Geraden durch p parallel zur x -Achse

Konstruktion der rechten Hülle:

$p_0 :=$ kleinster Pkt aus P bzgl. lexikographischer (1)

Sortierung entlang y (!)

while $p_i <$ größter Pkt bzgl. Sortierung:

lösche p_i aus P , output p_i

$p_{i+1} :=$ Pkt aus P mit min. $\angle(\overline{p_i p_{i+1}}, x)$ (2)

Frage: Implementierung von (2) ist klar?

(einfach 1x über P laufen)

Laufzeit:

Sei $h =$ Anzahl Ecken auf $\mathcal{EH}(P) = |\mathcal{EH}(P)|$

\rightarrow while wird h Mal durchlaufen;

Schritt (2) hat Aufwand $O(n)$, dito Schritt (1)

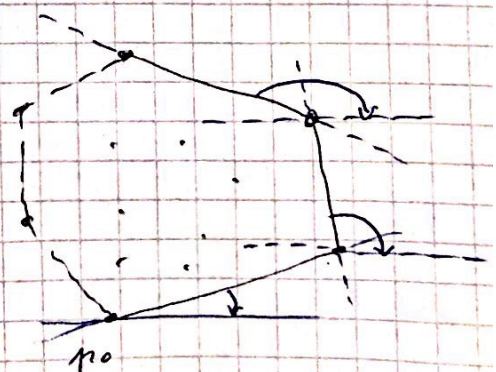
$\Rightarrow O(n \cdot h) \subseteq O(n^2)$

Falls $h \ll \log n$ dann ist also Jarvis' March schneller
als Graham's Scan.

Bemerkung: Jarvis' March

verwendet die "gift-wrapping"-

Technik; diese lässt sich auch
auf höhere Dim. übertragen.



Definition:

Ein Algorithmus ist "output-sensitive", wenn seine Komplexität von der Größe der Ausgabe (mit) abhängt, d.h., $T_A \in O(f(n, h))$ mit $h =$ Größe der Ausgabe.

(Die triviale Ekt $f(n, h) = g(n) + h$ ist hier natürlich nicht gemeint!
Die Ausgabe ausgeben braucht immer $O(h)$)

Jarvis' March ist also 'output-sensitive'.

Nachteil: falls $h \in O(n) \Rightarrow T_{\text{Jarvis}} \in O(n^2)$!

Frage: gibt es einen output-sensitive Algo, der auch im worst-case nicht schlechter als $O(n \log n)$ ist?

Idee: die Wrapping-Steps (2) beschleunigen durch Preprocessing

Satz:

1. Partitioniere P , berechne Ets für die Teilmengen, 2. mache dann Wrapping über eine Menge von Ets; die Hoffnung dabei ist, daß das Wrapping so viel schneller geht.
3. Zusätzlicher Trick: finde die "richtige" Anzahl Teilmengen durch geschicktes "Raten".

Timothy Chan:
Optimal output-sensitive
convex hull algorithms ...
Discrete Comp Geom 1996

Im folgenden berechnen wir - wie bei Jarvis' March - nur die "rechte Hülle"; die linke Hülle geht dann analog.

Algo HullG(P, m, h'): "G" für "h being queried"

input: $P = \{p_1, \dots, p_n\} \subseteq \mathbb{R}^2$

setze $k = \lceil \frac{n}{m} \rceil$, $3 \leq m \leq n$, $h' \geq 1$ // $h' =$ geraderer Wert für h

partitioniere $P = P_1 \dot{\cup} \dots \dot{\cup} P_k$, $k = \lceil \frac{n}{m} \rceil$

for $i = 1 \dots k$:

berechne $C_i := \text{CH}(P_i)$

// C_i enthält Vertices in CC_i

$p_1 :=$ tiefster Pkt aus P bzgl. y

// die C_i können überlappen!
// lexikograph. Sortierung

for $l = 1 \dots h'$:

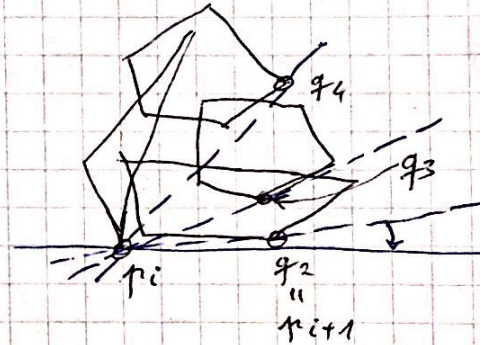
for $i = 1 \dots k$:

(1)

berechne die "untere" Tangente

an C_i durch p_i

$q_i :=$ der Pkt aus P_i auf dieser Tangente



setze $p_{i+1} :=$ den Pkt aus $\{q_1, \dots, q_k\}$, der $\angle(\overline{p_i q_i}, x)$ minimiert

if $p_{i+1} =$ oberster Pkt aus P :

(*)

return Flag "Hülle ist vollständig"

und (p_1, \dots, p_l)

end for l

return "Hülle ist unvollständig"

(**)

Falls $h' \geq h$, dann muss der Fall (*) irgendwann eintreten; sonst wird (**) am Ende ausgeführt.

Laufzeit T_{HullG} :

Klar ist: $\forall i: |P_i| \leq m \Rightarrow$ jedes C_i kostet $O(m \log m)$ Zeit
(z.B. mit Graham's Scan) \Rightarrow Reprocessing kostet

$$O(k m \log m) \stackrel{k=1}{=} O(m \log m).$$

Jede Tangente $\stackrel{k=u/m}{}$ kostet $O(\log m)$ Zeit \Rightarrow

Schleife (1) kostet $O(k \log m) \Rightarrow$

Gesamtlaufzeit ist $O(h' \frac{m}{m} \log m + n \log m)$.

Wähle $m := h' \Rightarrow T_{\text{HullG}}(n, h') \in O(n \log h')$.

Frage: wie kann man h' so finden, daß $h' \geq h$
und die Gesamtlaufzeit nicht wesentlich größer wird?

Idee: exponentielle Suche

Algo Hull(P):

for $t = 1, 2, \dots$:

$$m := h' := 2^{2^t}$$

$$C = \text{HullG}(P, m, h')$$

if "C ist vollständig":

return C

// wir haben $h' \geq h$ erreicht
// Schleife muß stoppen, sobald nämlich $2^{2^t} = h' \geq h$

Laufzeit T_{Hull} :

Schleifendurchläufe = $\lceil \log \log h \rceil$

x -te Iteration benötigt Zeit $O(n \log h') = O(n \cdot 2^t)$

Gesamtlaufzeit ist

$$\sum_{t=1}^{\lceil \log \log h \rceil} O(n \cdot 2^t) = O\left(n \cdot \sum_{t=1}^{\log \log h} 2^t\right) = O\left(n \cdot 2^{\log \log h + 1}\right) = O(n \log h).$$

Konvexe Hülle in 3D

Frage: was ist die Komplexität der EH in 3D?

Bezeichnung: "Komplexität" einer geometrischen Datenstruktur
 $= f(n)$, wobei $n =$ Größe der Eingabe (z.B. Anzahl Pkte)
und $f(n) =$ Größe der Ausgabe (z.B. Anzahl Pkte +
"kombinatorische Struktur"; in diesem Fall also
Beschr. der Polygone/Facetten der EH).

Frage: wieso ist Komplexität der EH in 3D plätzlich
nicht mehr so klar?

Weil jetzt ein Pkt zu ganz vielen Facetten gehören kann!

Satz (Euler-Formel):

Sei P ein konvexes Polyeder, $v = |V_P|$, $e = |E_P|$,

$f = |F_P|$. Dann gilt

$$v - e + f = 2.$$

Bew.: siehe CG1 (Randrepräsentationen)

Satz:

In jedem konvexen Polyeder ist $v, e, f \in \Theta(v, e, f)$.

(D.h., $e \in \Theta(v)$, $v \in \Theta(f)$, etc.)

Bew.:

Ersetze jede Kante in E durch 2 Kanten $\rightarrow E'$

Jede Kante in E' gehört zu genau 1 Facette,

jede Facette hat mind. 3 Kanten, also

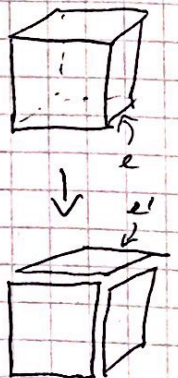
$$3f \leq e' = 2e \Rightarrow \underline{f \leq \frac{2}{3}e}$$

Einsetzen in Euler-Formel:

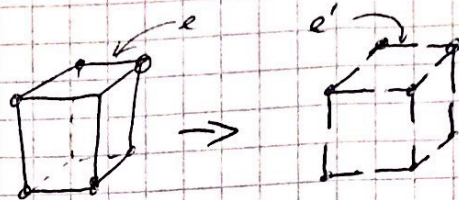
$$2 = v - e + f \leq v - e + \frac{2}{3}e \Rightarrow v - \frac{1}{3}e \geq 2$$

$$\Rightarrow \underline{e \leq 3v - 6}$$

$$\Rightarrow \underline{\frac{3}{2}f \leq e \leq 3v - 6}$$



Analog über Vertices: jeder
Vertex ist zu mind. 3 Kanten



insistent $\Rightarrow v \leq \frac{2}{3} e$, $e \leq 3f - 6$

Zusammen: $\frac{3}{2} v \leq e \leq 3v - 6$

$$\frac{2}{2} f \leq e \leq 3f - 6$$

$$\frac{1}{2} f + 3 \leq v \leq 2f - 4$$

...

Corollar:

Die Komplexität der RH in 3D ist $O(n)$.

Bemerkungen:

1. Diese Komplexitätsaussagen gelten genauso für einfache, geschlossene (nicht-konvexe) Polyeder, und planare Graphen.

2. In d Dimensionen gilt $f \in \Theta(n^{\lfloor d/2 \rfloor})$!

?(Es kann also in höheren Dim. höchstens ^{sensible} output-sensitive Algos geben, die sub-exponentielle Laufzeit haben!)

\Rightarrow in higher dimensions, we cannot hope to find ~~if~~ algos with time complexity less than $O(n^{d/2})$!

\rightarrow we can only hope for better output-sensitive complexities

Der Clarkson-Shor-Algo:

[1989]

[Blau-gelbes Buch]

arbeitet inkrementell und randomisiert.

Idee des Algos: wie in dem Beweis des ersten Satzes, der besagt, daß die EH ein konvexes Polyeder ist.

Darstellung: mittels DCEL (s. CG1)

Start: suche 4 Pkte aus P , die nicht in einer Ebene liegen; starte mit p_1, p_2 ; suche p_3 , das nicht auf der Geraden durch p_1, p_2 liegt; suche p_4 , das nicht in der Ebene durch $\Delta p_1 p_2 p_3$ liegt.

(Falls das nicht geht, liegen alle Pkte in einer Ebene \rightarrow berechne EH mit 2D-Algo.)

Permutiere p_{r-1}, p_r zufällig.

Schleife über $p_5 \dots p_n$:

 berechne $e_r := EH(p_1, \dots, p_r)$

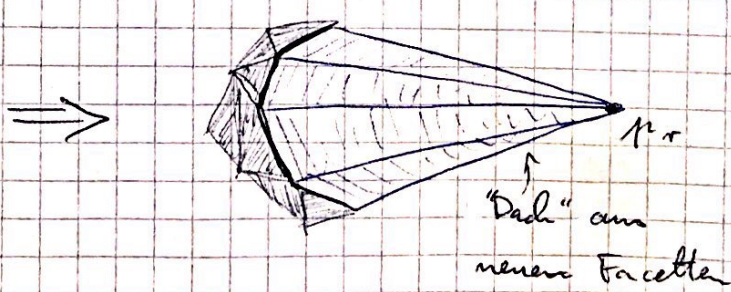
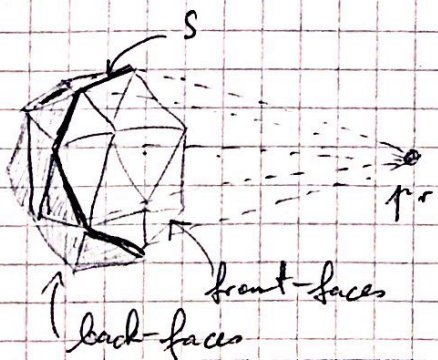
 aus p_r und $e_{r-1} = EH(p_1, \dots, p_{r-1})$

1. Fall: $p_r \in e_{r-1} \Rightarrow$ nichts zu tun, verwirfe p_r

2. Fall: $p_r \notin e_{r-1} \Rightarrow$

 "front-/back-faces" ^{aus e_{r-1}} p_r bilden je eine zus. hängende Region; die Kanten dazwischen bilden eine zus. hängende Kurve \rightarrow "Silhouette" S

Lösche alle front-faces, schließe Polyeder wieder durch neue Dreiecke zwischen p_r und je einer Silhouettenkante.



Wie findet man schnell alle front-faces?
 (brute-force: alle testen $\rightarrow O(n^2)$ -Algo.)

Idee: der "Konflikt-Graph"

Besteht aus folgenden "Konfliktmengen":

Für jede Facette $f \in \mathcal{E}_r$: $P_{\text{conf}}(f) \subseteq \{p_{r+1}, \dots, p_n\}$ = alle p_{kte} ,
 die f "sehen" können (begl. davor also f ein front-face ist);

für jeden p_{kte} $p_s, s > r$: $F_{\text{conf}}(p_s) \subseteq F(\mathcal{E}_r)$ = alle Facetten,
 die p_s "sehen" kann.

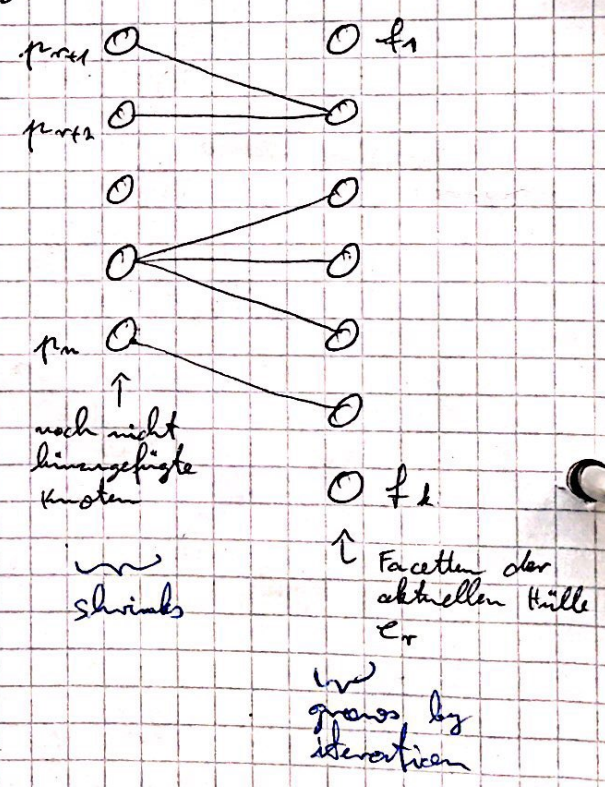
Sprechweise: $p \in P_{\text{conf}}(f)$ "ist in Konflikt mit Facette f "
 (beide können nicht zusammen in der \mathcal{EH} existieren).

Datenstruktur: ein bipartiter Graph \mathcal{G}

Nutzung von \mathcal{G} :

Beim Einfügen von p_r ,
 lösche $F_{\text{conf}}(p_r)$ aus \mathcal{E}_{r-1} ;
 teste bei jedem $f \in F_{\text{conf}}(p_r)$,
 ob eine der inzidenten Kanten
 aus $S \rightarrow$ Dreieck ^{zu p_r aufbauen} einzuschieben.

Aufwand: $O(|F_{\text{conf}}|)$



Abstrahierung von \mathcal{G} :

Initialisierung: alle Punkte p_1, \dots, p_n gegen \mathcal{L}_4 testen.

Beim Einfügen von p_r : 1. alle Nachbarn von p_r in \mathcal{G} löschen
 $= F_{\text{conf}}(p_r)$

2. p_r löschen aus \mathcal{G}

3. neue Knoten für neue Facetten erzeugen in \mathcal{G}

4. Kanten in \mathcal{G} für neue Konflikte erstellen

Beobachtung: falls $f \in \mathcal{L}_{r-1}$ und $f \in \mathcal{L}_r$ (also $f \notin F_{\text{conf}}(p_r)$)
dann bleibt $P_{\text{conf}}(f)$ unverändert

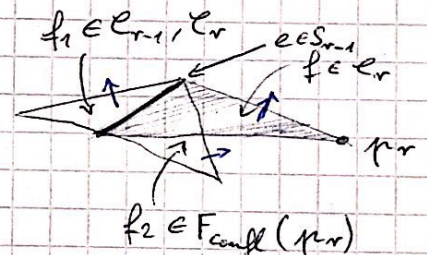
→ wir brauchen nur $P_{\text{conf}}(f) \subseteq \{p_{r+1}, \dots, p_n\}$ erstellen
für die neuen Facetten im "Dach" zu p_r .

Seien f eine neue Facette, $f_1 \in \mathcal{L}_{r-1}$ back-facing bzgl p_r ,
 $f_2 \in \mathcal{L}_r$ front-facing; dann gilt:

$$P_{\text{conf}}(f) \subseteq P_{\text{conf}}(f_1) \cup P_{\text{conf}}(f_2)$$

denn

$$H^+(f) \subseteq H^+(f_1) \cup H^+(f_2)$$



Seame also für Schritt 4 einfach nur die Konfliktmengen
der beiden inzidenten Pgone zu e .

Bemerkung: kann passieren, daß koplanare Facetten
entstehen → einfach mergen.

(Details habe ich weggelassen; läßt sich leicht fest-
stellen; Laufzeit ändert sich nicht)

Pseudo-Code:

bestimme p_1, \dots, p_4 die Tetraeder bilden

$$\mathcal{E}_4 := \mathcal{EH}(p_1, \dots, p_4)$$

Initialisiere \mathcal{G} mit allen Paaren (p_s, f) mit $f \in \mathcal{E}_4, s \geq 4$

for $v = 5 \dots n$:

if $F_{\text{conf}}(p_v) = \emptyset$:

weiter mit nächstem v // $p_v \in \mathcal{E}_{v-1}$

teste alle Kanten aller $f \in F_{\text{conf}}(p_v)$, ob sie zur Silhouette gehören und füge sie ggf. zu S hinzu

for all $e \in S$:

erzeuge neue Facette f aus e und p_v

erzeuge Knoten in \mathcal{G} für f

for all $p \in P_{\text{conf}}(f_1) \cup P_{\text{conf}}(f_2)$:

if f ist front-facing bzgl p :

füge Kante (p, f) in \mathcal{G} ein

f_2 und dessen insidante Kanten aus \mathcal{G} löschen

Satz:

Die konvexe Hülle in 3D kann in erwarteter Laufzeit $O(n \log n)$ berechnet werden.

Bew. skizze:

[Worst case of Clarkson-Shor is $O(n^3)$]

1. Zeige, daß obiger Algo $\leq 6n$ Facetten (temporär) erzeugt

2. Zeige, daß $\sum_e |P_{\text{conf}}(f_1)| + |P_{\text{conf}}(f_2)| \in O(n \log n)$,

wobei die Summe über alle Kanten geht, die irgendwann einmal im Verlauf als Silhouettenkante auftreten.

Note: best-known output-sensitive algo has

time complexity $O(n \log k + (nk)^{\frac{1}{d-2+2\epsilon}} \cdot \log^{O(d)} n)$
 $k = \text{size of output}$

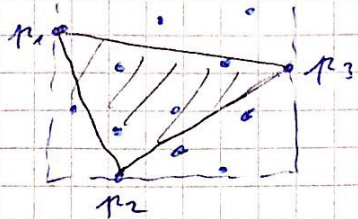
All-Toussaint's throw-away heuristic

Find pts p_1 with min x-coord,

$p_2 = \text{min } y\text{-coord}$, $p_3 = \text{max } x\text{-coord}$.

Clearly, $p_1, p_2, p_3 = \text{vertices on CH!}$

→ Throws away all pts inside



$\Delta p_1 p_2 p_3$

In 3D: - find 4 pts realizing one of the sides of bbox (P)

- throws away all pts inside tetrahedron p_1, \dots, p_4

repeat with other ^{3/4} sides of the bbox.

Could extend:

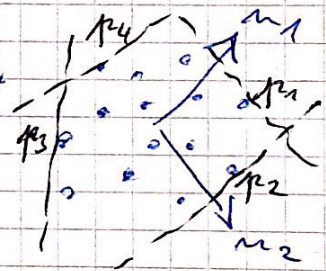
choose 3/4 random vectors v_1, \dots, v_4

find p_i^* realizing max of $\{v_i \cdot p_j\}$

form triangle / tetrahedron

throws-away all pts inside

repeat a few times (each iteration $\in O(n)$)



Could turn this into a probabilistic algo for CH ?!

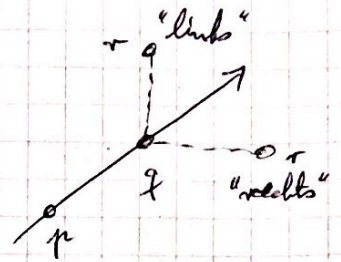
Einfache geometrische Prädikate / Subroutinen

Prädikat "links/rechts":

Geg.: 3 Pkte $p, q, r \in \mathbb{R}^2$

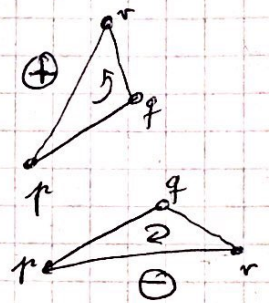
Frage: Liegt r "links" oder "rechts" von \overline{pq}

Lsg.: $n = \begin{pmatrix} -(q_y - p_y) \\ (q_x - p_x) \end{pmatrix}$, $F(r) = n \cdot (r - p)$



Äquivalentes Prädikat:

Bildet Δpqr einen "positiven" oder einen "negativen" Flächeninhalt?



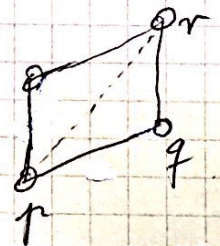
Berechnung:

$$A(\Delta pqr) = \frac{1}{2} \begin{vmatrix} p_x & p_y & 1 \\ q_x & q_y & 1 \\ r_x & r_y & 1 \end{vmatrix}$$

Bew.:

Flächeninhalt des Parallelogramms =

$$2 \cdot A(\Delta pqr) = \begin{vmatrix} p_x & p_y & 1 \\ q_x & q_y & 1 \\ r_x & r_y & 1 \end{vmatrix} = \begin{vmatrix} p_x - q_x & p_y - q_y & 0 \\ q_x & q_y & 1 \\ r_x - q_x & r_y - q_y & 0 \end{vmatrix}$$



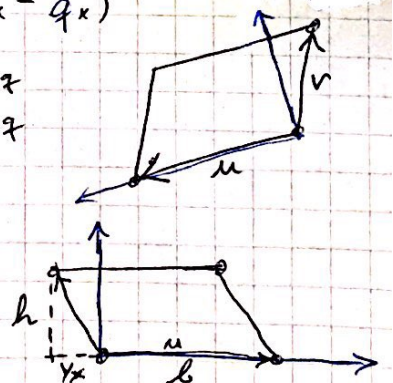
$$= (p_x - q_x)(r_y - q_y) - (p_y - q_y)(r_x - q_x)$$

$$= u_x v_y - u_y v_x$$

Setze $u := p - q$
 $v := r - q$

$$= b \cdot h$$

Wähle abt. des Koord. syst. so, daß $u = (b, 0)$ und Ursprung in $q \Rightarrow$ Höhe $h = v_y$



Bem.: diese Formel \rightarrow ist nichts anderes als $F(r)$ von oben, nur mit anderen Werten.

Hier sieht man sofort, \rightarrow

daß $A(\Delta pqr) < 0$ wird, sobald der Pkt r unterhalb der x -Achse sitzt, also sobald $h < 0$.

(Durch das Vorzeichen beim Flächeninhalt des Dreiecks / Parallelogramms haben wir also im Grunde nichts anderes getan, als ein Koord.-syst. im Dreieck zu verankern, und die Höhe hierbzgl. mit \sqrt{z} zu versehen!)

Hier: Orientierungstest für Tetraeder einzeichnen, 2 Seiten weiter

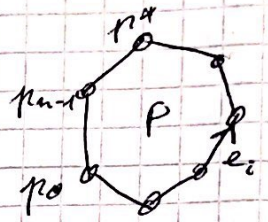
Extreme Ecke eines konvexen Polygons: Integralhalbierung in bitonischen Folgen

Geg.: konvexes Polygon P mit n Vertices $p_0, p_1, \dots, p_{n-1}, p_n = p_0$

Aufgabe: bestimme den extremalen Eck bzgl. der

pos. y -Achse, d.h., p^* mit $p_y^* = \max$

Def.: $e_i := p_{i+1} - p_i$



Annahme: wir wissen, daß p^* zwischen p_a und p_b liegt, d.h. in der Menge $\{p_a, p_{a+1}, \dots, p_b\}$ (wobei "+" =

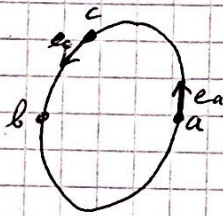
Addition modulo n !).

Setze $c := \frac{1}{2}(a+b)$

Fallunterscheidung:

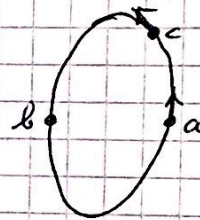
(6 Fälle)

I. $ea \nearrow$
nach oben:



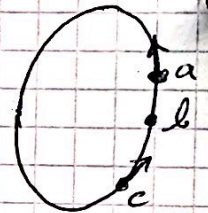
1. $ec \searrow$

$\Rightarrow (a, c)$



2. $ec \nearrow$,
 p_c oberhalb
 p_a

$\Rightarrow (c, b)$

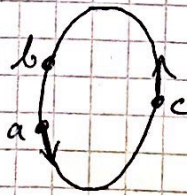


3. $ec \nearrow$,
 p_c unterhalb
 p_a

$\Rightarrow (a, c)$

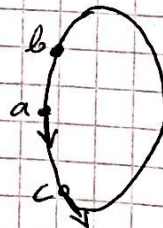
Dann wähle
als nächstes
Intervall
 a', b', \dots

II. $ea \searrow$:



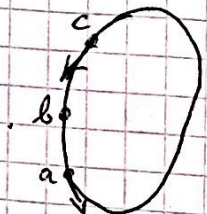
1. $ec \nearrow$

$\Rightarrow (c, b)$



2. $ec \searrow$,
 p_c unterhalb
 p_a

$\Rightarrow (c, b)$



3. $ec \searrow$,
 p_c oberhalb
 p_a

$\Rightarrow (a, c)$

Start mit $a=0, b=n \Rightarrow 0 \leq a < c < b \leq n$;

und wir müssen nicht modulo n rechnen.

Bem.: die o.g. Fälle reichen; z.B. in Fall II gilt:

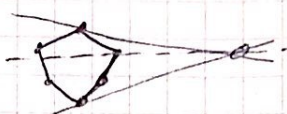
p_a muß auf linker Seite von P liegen \Rightarrow auch p_b , da

$[a, b]$ ja p^* enthält laut Vorans.!

einfachere Fallunterscheidung: gegenüberliegende Seite!

Laufzeit: $O(\log n)$ (kein Preprocessing nötig!)

Bemerkung: Variante ist Fibonacci-Suche (s. Numerical Recipes)
hat einen etwas niedrigeren Faktor

Analog: Tangente finden geht in $O(\log n)$ → Übungs! 

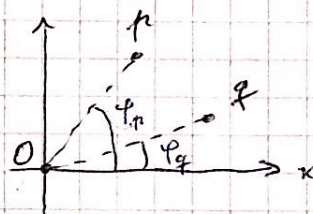
Aufgabe: 2 Pkte bzgl. Polariswinkel sortieren

Geg.: $p, q \in \mathbb{R}^2$

Frage: hat p oder q den größeren Polariswinkel?

(also: bildet p/q den größeren Winkel mit der x -Achse?)

Naive Lsg.: kartesische Koord. in Polarkoord. (r, φ) umwandeln (teuer)



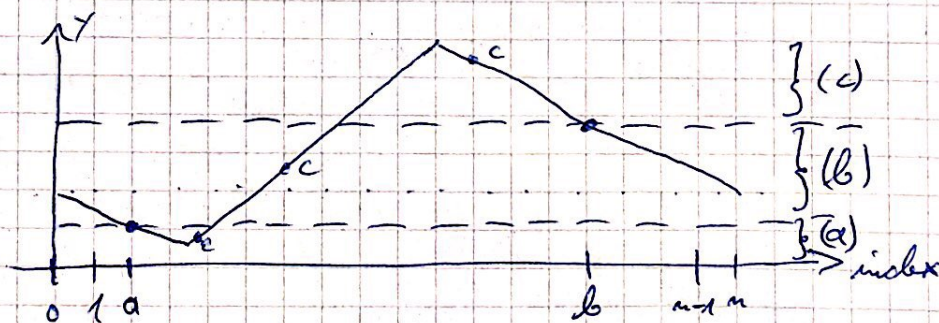
Besser: $\varphi_p > \varphi_q \Leftrightarrow A(\Delta Oqp) > 0!$

Vorteil: es genügen ein paar Add./Mult.

einfachere Fallunterscheidung:

~~Prüf~~ $a < b$

I. 3 Fälle:



a) $p_y^a < p_y^c < p_y^a < p_y^b \Rightarrow a' := c, b' := b$

b) $p_y^a < p_y^c < p_y^b \Rightarrow a' = c, b' = b$

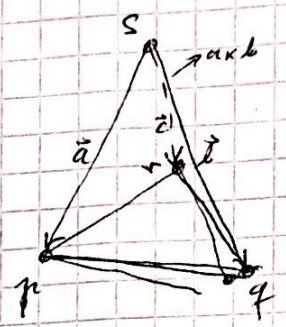
c) $p_y^a < p_y^b < p_y^c \Rightarrow a' = a, b' = c$

II. analog 3 weitere Fälle mit $p_y^a > p_y^b$

Orientierungstest in 3D:

Gegeben 4 Pkte $p, q, r, s \in \mathbb{R}^3$

Frage: liegt s "oberhalb" / "unterhalb" der supporting plane von p, q, r ?



Definition:

s "oberhalb" $p, q, r \Leftrightarrow$

von s aus betrachtet erscheint p, q, r in CCW order \Leftrightarrow

s liegt auf der selben Seite wie die Normale von $p, q, r \Leftrightarrow$

$\vec{c} \cdot (\vec{a} \times \vec{b}) > 0$, mit $a = p - s, b = q - s, c = r - s \Leftrightarrow$

$$\det \begin{pmatrix} p_x & p_y & p_z & 1 \\ q_x & q_y & q_z & 1 \\ r_x & r_y & r_z & 1 \\ s_x & s_y & s_z & 1 \end{pmatrix} > 0$$

Bew:

In der Det mutue Zeile von oben darüber abziehen, und Det entwickeln nach letzter Zeile. Dann Spatprodukt ausschreiben und mit Det vergleichen.

Bemerkung:

1. Vol (Spates durch p, q, r, s aufgespannt) = $c \cdot (a \times b)$
 \rightarrow "Spatprodukt"

2. Vol (Tetraeder durch p, q, r, s) = $\frac{1}{6} \det \begin{pmatrix} -p-1 \\ -q-1 \\ -r-1 \\ -s-1 \end{pmatrix}$
 \rightarrow vorzeichenbehaftetes Volumen.

3. Det = $c \cdot (a \times b) = 0 \Leftrightarrow p, q, r, s$ liegen in einer Ebene

Geometrische Robustheit

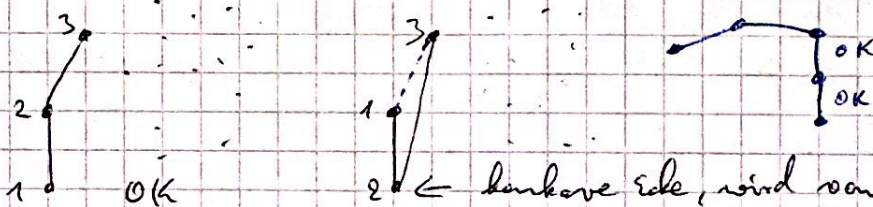
Hier: nur am Beispiel der 2D-EH

Frage: wo kann unser Algo "Graham's Scan" schief gehen? wo haben wir stillschweigend Annahmen über den Input gemacht?

1. Keine gleichen x-Koord. - Problem? \rightarrow U.aufgabe

Kein: Reihenfolge der p_i mit gleichem x ist egal

\rightarrow Sort-Algorithmus muß nicht stabil sein

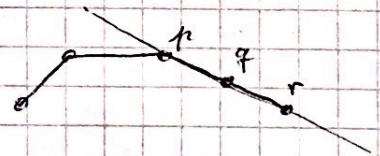


Einzigster Fall: vertikale Kante in der EH am linken oder rechten Ende taucht in der oberen nach unteren Hülle auf \rightarrow extra checken (Frage: klappt das auch, wenn mehrere Pkte kollinear und vertikal sind? ...)

2. Kollineare Pkte:

Unser Prädikat $A(\Delta pqr) = 0$

\rightarrow schreibe in der Impl. " ≤ 0 " oder evtl. " $\leq \epsilon$ ".

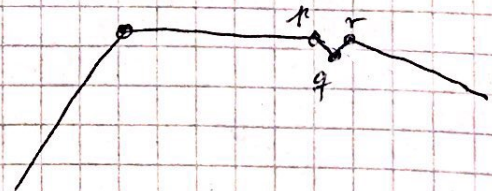


3. Rundungsfehler:

Wenn p, q, r sehr dicht beieinander liegen, kann $A(\Delta pqr) > 0$ liefern, vgl. begrenzter Anzahl Bits.

Lsg a) solche "Cluster" ersetzen durch 1 Pkt

Lsg b) geometrische Prädikate numerisch "geschickt" implementieren



Der Begriff "allgemeine Lage" (general position):

Man findet häufig einen Satz der Art "we assume a set of points in general position...".

Ist nicht präzise definiert; bedeutet, dass alle in Folgenden verwendeten geometrischen Prädikate eindeutig sind, also keine Grenzfälle entstehen ("=0").

Läuft meistens auf folgende Bedingungen hinaus:

1. keine 3 Pkte kollinear
2. in 3D: keine 4 Pkte koplanar
3. keine doppelten x-Koord (vor allem bei Sortieren oder sweep-plane)
4. evtl.: keine 4/5 auf einer gemeinsamen Kugel (in 2D/3D)

Definitionen:

Ein "geometrisches Problem" ist eine Abb.

$$P: X \rightarrow Y$$

wobei $X = \mathbb{R}^{d \cdot n}$, $Y = C \times \mathbb{R}^m$, $C =$ "kombinatorischer Anteil der Lsg".
= set of correct/allowed inputs

Bsp.: für 2D-EH ist $Y = C = \{ \text{aller } k\text{-Tupel aus } \mathbb{N}, k \leq n \}$
all possible perturbations

(bei 2D-EH werden nämlich im Prinzip nur einige Pkte der Eingabe ausgewählt und in eine Reihenfolge gebracht.)

Ein "geometrischer Algo" ist genauso eine Abb.

$$A: X \rightarrow Y$$

Achtung: i.A. $\exists x: P(x) \neq A(x)$!

Definition:

A heißt "robust" \Leftrightarrow

$$\forall x \in X \exists x' \in X: A(x) = P(x') \quad \text{ich denke aber: } A(x') = P = P(x)$$

(D.h.: es gibt keine korrekte Eingabe, bei der der Algo. kompletten Blödsinn produziert, also eine Ausgabe, die nicht der Ausgangsspezifikation genügt.)

A heißt "stabil" \Leftrightarrow

$$\forall x \in X \exists x' \in X, x' \text{ nahe bei } x: A(x) = P(x')$$

Frage: ist LD-EH robust / stabil?

(ohne / mit Robustheitsmaßnahmen ...)